



تحلیل عددی جریان چرخشی بالای یک بال کرکت کایت در مجاورت زمین

محمدجواد بذرگر¹، مجتبی دهقان منشادی*

۱- فارغ التحصیل کارشناسی ارشد، مهندسی مکانیک، دانشگاه صنعتی مالک اشتر، اصفهان

۲- دانشیار، مهندسی هوافضا، دانشگاه صنعتی مالک اشتر، اصفهان

* شاهین شهر، صندوق پستی 153/83145، mdmanshadi@mut-es.ac.ir

چکیده

در طی فازهای نشست و برخاست، ساختارهای جریان و نیروهای آبودینامیکی متفاوت از میدان جریان آزاد است. دینامیک سیالات محاسباتی جهت مطالعه میدان جریان یک بال کرکت کایت در ناحیه اثر سطح با تمرکز بر مطالعه رفتار گردابه‌ها استفاده شده است. زوایای حمله و ارتفاعات مختلف در سرعت جریان آزاد 70 m/s بررسی شده است. معیار کیو نشان می‌دهد که در اثر سطح، رفتار گردابه‌ها در زوایه حمله با 2° و 0° و تقریباً ثابت می‌ماند. گردابی باقیمانده محوری، سرعت محوری و مکش القاشه تمامی گردابه‌ها افزایش می‌یابد و اینوسطح های معیار کیو قدرتمندتر می‌شوند. در زوایه حمله 8° با کاهش ارتفاع، گردابی باقیمانده محوری در گردابه اولیه و گردابه محل شکستگی بال به ترتیب افزایش و کاهش می‌یابد. همچنین، گردابه محل شکستگی به گردابه اولیه نزدیک می‌شود و از سطح بال فاصله می‌گیرد. در زوایه حمله 8° ، فروپاشی گردابه ثانویه به بالادست جریان انتقال می‌یابد و تا قل از فروپاشی قوی تر می‌شود. ساختار منسجم گردابه بین لبه حمله و گردابه محل شکستگی در اثر سطح از بین می‌رود و حباب بازچرخشی روی سطح بال تشکیل می‌شود. با کاهش ارتفاع، بیشترین نمو ضرباب برآ و پسا روی سطح زیرین بال انفاق می‌افتد.

اطلاعات مقاله

مقاله پژوهشی کامل	1395
دربافت: 27 دی 1395	پذیرش: 02 اسفند 1395
ارائه در سایت: 14 فوریه 1396	کلید واژگان:
	اثر سطح

جریان چرخشی

بال کرکت کایت

دینامیک سیالات محاسباتی

Numerical Analyses of the Vortical Flow over the Cranked Kite Wing in Ground Proximity

Mohammad Javad Bazrgar, Mojtaba Dehghan Manshdi*

Department of Mechanical and Aerospace Engineering, Malek Ashtar University of Technology, Isfahan, Iran
* P.O.B. 153/83145, Shahin shahr, Iran, mdmanshadi@mut-es.ac.ir

ARTICLE INFORMATION

Original Research Paper
Received 16 January 2017
Accepted 20 February 2017
Available Online 03 April 2017

Keywords:
Ground effect
Vortical flow
Cranked kite wing
Computational fluid dynamics

ABSTRACT

In during take-off and landing phases, flow structures and aerodynamics forces differ from the unbounded flow field. Computational fluid dynamics were used to study the flow field of a cranked kite wing with the focus on studying vortices treatment. Different Angles of attack and heights were investigated at the freestream 70 m/s . Q-criteria shows that in ground effect, vortices treatment is at angles of attack 2° , similar to 0° and angle of attack 8° similar to angles 4° and 6° . According to the topology of pressure gradient vectors at the angle of attack 2° , the center of all vortices in ground effect is fixed approximately. Axial residual vorticity, axial velocity and induced suction of all vortices increase and isosurfaces of Q-criteria become thicker. At the angle of attack 8° with decreasing height, axial residual vorticity of the primary vortex and the wing kink location vortex increase and decrease respectively. Also, the kink location vortex approaches the primary vortex and it takes away from the wing surface. At the angle of attack 8° , the coherent structure of vortex between leading edge and the kink location vortex breaks down in ground effect and recirculation bubble form on the wing surface. With decreasing height, the most drag and the lift coefficients increment occur on the lower surface of the wing.

غیرباریک^۵ و بالهای لامبدای^۶ استفاده می‌شود. پهپادهای تارانیس^۷ و نرون^۸ دارای چنین پیکربندی هستند. این وسیله‌های پرنده، چالش‌های پایداری زیادی دارند. این پرنده‌ها، فاقد خلبان بوده و در طی فازهای نشست و برخاست از سنسورها و سیستم‌های کنترل اتوماتیک استفاده می‌کنند؛ بنابراین برای اطمینان از امنیت پرواز باید آبودینامیک نزدیک زمین را

۱- مقدمه

در سال‌های اخیر به طراحی وسیله‌های پرنده نظامی بدون سرنشین^۱ هوایپیمایهای بال پرنده^۲ توجه زیادی شده است. این پرنده‌های فاقد دم^۳، دارای بال و بدنه یکپارچه^۴ هستند و در بخشی ساختار آن‌ها از بالهای دلتای

⁵ Nonslender

⁶ Lambda

⁷ Taranis

⁸ Neuron

¹ Unmanned combat aircraft vehicles (UCAV)

² Flying wing aircraft

³ Tailless

⁴ Blended-wing-body (BWB)

Please cite this article using:

M. J. Bazrgar, M. Dehghan Manshdi, Numerical Analyses of the Vortical Flow over the Cranked Kite Wing in Ground Proximity, *Modares Mechanical Engineering*, Vol. 17, No. 4, pp. 41-51, 2017 (in Persian)

برای ارجاع به این مقاله از عبارت ذیل استفاده نمایید:

داد که با کاهش ارتفاع از سطح، برآ، پسا و ممان پیچ منفی¹² به طور غیرخطی افزایش می‌یابد. بازده آئرودینامیکی با ارتفاع تغییر اندازی می‌کند و در حالت کلی روند افزایشی با کاهش ارتفاع دارد. بررسی میدان جریان نشان داد که موقعیت هسته گردابه در اثر سطح تقریباً ثابت بوده است. در ناحیه محصور کاهش و سرعت در راستای دهانه نسبت به جریان آزاد بزرگ‌تر می‌شود. ایرل [8]، اثر سطح روی یک بال دلتای باریک را بررسی کرد. بررسی‌ها نشان داد که فشار بر سطح زیرین افزایش می‌یابد. این افزایش فشار، با بزرگ‌تر شدن زاویه حمله افزایش می‌یابد. نتیجه کلی اثر سطح، افزایش نیروی عمودی است.

میوسوچ و پرینس [9] مطالعه عددی و تجربی اثر سطح بر بال دلتای معکوس با لبه حمله W شکل را از جریان آزاد تا نسبت ارتفاع به دهانه 0.09 بررسی کردند. در تمام نسبت‌های ارتفاع مورد بررسی، هیچ اختلاف قابل توجهی در ضریب پسا مشاهده نشد. احمد و گوناراتن [10] یک بال ضخیم با نسبت منظری کم را در مجاورت زمین بررسی کردند. ثابت ماندن ضریب پسا و کاهش ضریب برآ با افزایش ارتفاع مشاهده شد. چانز و همکاران [11] مدل پهپاد V شکل را در اثر سطح بررسی کردند. نتایج نشان داد که در نزدیک زمین، ممان حول مرکز آئرودینامیکی افزایش می‌یابد و بال از پایداری تقریباً خنثی حول مرکز آئرودینامیکی به پایداری مثبت انتقال می‌یابد. دهقان منشادی و بذرگر [12] ضرایب آئرودینامیکی یک بال لامبدا را در اثر سطح استاتیک بررسی کردند. نتایج بررسی آن‌ها نشان داد که با کاهش ارتفاع پرواز، پسا، برآ، شیب منحنی برآ، ممان پیچ حول مرکز جرم بال، بازده آئرودینامیکی، پسای پارازیت¹³، افزایش یافته و پسای القایی کاهش می‌یابد. اما تغییرات ضرایب آئرودینامیکی میدان جریان سطوح زیرین و بالایی بال به طور جداگانه بررسی نشد. بررسی توزیع فشار روی سطح زیرین در زاویه حمله ۸° نشان داد که با کاهش ارتفاع پرواز، فشار استاتیک زیر بال به علت مسدود شدن جریان بین بال و زمین افزایش می‌یابد. این افزایش فشار به اثر صعود¹⁴ یا بالش هوایی¹⁵ معروف است. همچنین، فشار دینامیکی جریان زیر بال کاهش می‌یابد.

مطالعه مراجع گذشته نشان می‌دهد که رفتار آئرودینامیکی یک بال در اثر سطح، به پیکربندی وسیله وابسته است. بیشتر مطالعات گذشته به بررسی ضرایب آئرودینامیکی پرداخته و اکثر¹⁶ در حوزه پرنده‌های اثر سطحی می‌باشند. مطالعات خیلی کمی به بررسی میدان جریان پرداخته‌اند. در این مطالعه، میدان جریان یکی از بال‌های لامبدا معروف به پلنفرم کرنت کایت¹⁷ با تمرکز بیشتر بر رفتار گردابه‌های تشکیل شده در بالاً بال در مجاورت زمین بررسی شده است. مکانیزم اثر سطح روی سطح بالایی این بال‌ها، متفاوت از بال‌های با نسبت منظری بزرگ است؛ زیرا به جای برآ جریان پتانسیل، به برآ گردابه¹⁸ مرتبط می‌باشد. همچنین تغییرات ضرایب برآ و پسا سطوح زیرین و بالای بال به طور جداگانه نسبت به میدان جریان آزاد مطالعه شده است.

2- بیان مسئله و توصیف روش شبیه‌سازی

در این مطالعه، میدان جریان یک بال تحت با پس‌گرایی دوگانه لبه حمله ۵۴.۵°/۲۹.۵° در مجاورت زمین با استفاده از دینامیک سیالات محاسباتی

بررسی و در سیستم‌های کنترلی در نظر گرفت.

مطالعه آئرودینامیک اثر سطح یک هواپیما، اساساً به تغییرات میدان جریان سه بعدی در وجود صفحه زمین و به دنبال آن اثر بر عملکرد کلی هواپیما متمرکز شده است. آئرودینامیک اثر سطح، در فازهای نشت و برخاست انواع هواپیما، پرنده‌های اثر سطحی¹ یا اکرانوپلن‌ها، قطارهای با سرعت زیاد و خودروهای مسابقه نقش مهمی دارد. اثر سطح، اولین بار به طور جدی در دهه ۱۹۲۰ بررسی شده است. اویین ارزیابی تحلیلی اثر سطح توسعه ویزلس برگر در سال ۱۹۲۱ انجام گرفته است [1]. وی با استفاده از تئوری برآی خطی پرنتل² و تصویر مدل، سطح زمین را با تصویر آینه‌ای بال در بالای زمین عرض کرد.

اثر سطح براساس فیزیک جریان، به دو طبقه‌بندی اثر سطح و تر^۳ غالب (دو بعدی) و اثر سطح دهانه غالب^۴ (سه بعدی) تقسیم می‌شود [2]. در ایرفویل‌های با زاویه حمله مثبت، پرواز نزدیک سطح زمین منجر به ایجاد فشار زیاد روی سطح زیرین بال می‌شود. این افزایش فشار منجر به افزایش برآ، ممان پیچ منفی و بهبود نسبت برآ به پسا می‌شود. این پدیده، اثر سطح و تر غالب نامیده می‌شود. زمانی که ارتفاع پرواز، کمتر از تر ایرفویل شود، این اثر مشاهده می‌شود. در بال‌های سه بعدی با زاویه حمله مثبت، پرواز در مجاورت سطح، منجر به محدود شدن گردابه‌های نوک بال^۵ و جابجا شدن آن‌ها به طرف بیرون در راستای دهانه بال می‌شود؛ بنابراین نسبت منظری مؤثر نسبت به منظری هندسی بال بزرگ‌تر می‌شود. همچنین زاویه فرووزش^۶ و متعاقباً پسای القایی^۷ کاهش می‌یابد. این پدیده، اثر سطح دهانه غالب نامیده می‌شود. هنگامی که ارتفاع پرواز کمتر از یک دهانه بال شود، این پدیده اتفاق می‌افتد.

مراجع متعددی از جمله [4,5] اثر سطح را در بال‌های با نسبت منظری بزرگ و زاویه پس‌گرایی کم بررسی کرده‌اند. این بال‌ها در حوزه پرنده‌های اثر سطحی یا کرفته‌های^۸ با پرواز طولانی مدت در اثر سطح، بیشترین کاربرد را دارند. در این نوع بال‌ها با کاهش ارتفاع از سطح، ضریب برآ و ممان پیچ منفی افزایش و ضریب پسای کل کاهش می‌یابد. از جمله مزیت‌های این بال‌ها، افزایش قابل توجه بازده آئرودینامیکی (نسبت برآ به پسا) است. احمد [5]، یک ایرفویل ضخیم را در اثر سطح بررسی کرد. بررسی وی نشان داد که نقطه سکون جریان، به طرف پایین جابجا می‌شود. این مسئله منجر به منحرف شدن بخش بزرگ‌تری از جریان هوا به بالای بال می‌شود. جانگ و همکاران [6] اثر سطح یک بال با مقطع NACA 6409 را در تونل باد بررسی کردند. آن‌ها کاهش گردابه‌های نوک و دنباله^۹ بال را در اثر سطح مشاهده کردند. همه پیکربندی‌ها^{۱۰} در وسیله‌های پرنده، دارای مزیت افزایش زیاد در بازده آئرودینامیکی نیستند و دچار اثر سطح معکوس می‌شوند. در واقع با کاهش ارتفاع، برآ و پسا زیاد می‌شود و بازده آئرودینامیکی تنها اندکی افزایش می‌یابد. مرجع [7] اثر سطح دائم یا ارتفاع ثابت را بر مدل دلتای باریک استاندارد VFE-2 در زاویه حمله ۲۰° بررسی کرددند. نتایج بررسی آن‌ها نشان

¹ Wing in ground (WIG)

² EKranoplan

³ Prandtl

⁴ Chord

⁵ Span

⁶ Tip vortex

⁷ Downwash

⁸ Downwash

⁹ Craft

¹⁰ Wake

¹¹ Configuration

¹² Nose-down moment

¹³ Parasite drag

¹⁴ Ram effect

¹⁵ Air cushion

¹⁶ Cranked kite

¹⁷ Vortex lift

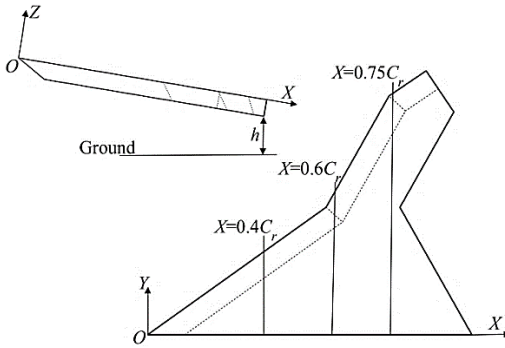


Fig. 1 Coordinate system and wing geometry

شکل ۱ سیستم مختصات و هندسه بال

جدول ۱ مشخصه‌های مدل لامبدا شکل

Table 1 Model specifications of the Lambda-Shaped

دهانه	وتر ریشه	وتراورودینامیکی متوسط	ضخامت	نسبت منظری
4.08	30mm	225mm	450mm	732mm

است. حل گر فشار مبنی با دقت مضاعف به عنوان الگوریتم حل استفاده شده است. همگرایی حل هنگامی است که ضرایب برآ و پسا ثابت شوند. در قرن شانزدهم میلادی، لئوناردو دا وینچی اصل تقابل^۹ آبودینامیکی را ارائه داد. برطبق این اصل، اگر جسم از میان یک محیط سیال با سرعت معین حرکت کند، نتایج حاصل با حالت عبور سیال با همان سرعت بر روی جسم، یکسان خواهد بود. این اصل در دینامیک سیالات محاسباتی به طور گسترده استفاده می‌شود. در درستی ماهیت جریان در چارچوب جسم ساکن، در برخی حالتهای خاص مثل اثر سطح اهاب وجود دارد. برابر و همکاران [17]، اثر چارچوب مرجع انتخاب شده بر آبودینامیک اثر سطح را بررسی کردند. بررسی آن‌ها نشان داد که بین نتایج چارچوب جسم ساکن و سیال ساکن اختلاف خیلی کمی وجود دارد. در این مطالعه از چارچوب جسم ساکن در سیال متحرک استفاده شده است. در "شکل ۲"، دامنه محاسباتی و شرایط مرزهای جریان نشان داده شده است. نیمه مدل در این مطالعه استفاده شده است؛ زیرا مدل زاویه جانی ندارد. در حالت اثر سطح، شرط مرزی دیواره بدون لغزش روی سطوح بال، شرط مرزی تقارن در زمین [19,18] و صفحه تقارن، شرط مرزی گرادیان سرعت صفر با فشار یکنواخت در مرز پایین دست و شرط مرزی سرعت ورودی یکنواخت با گرادیان فشار صفر در مرزهای جانی و بالادست جریان استفاده شده است. در جریان آزاد، شرط مرزی سرعت ورودی یکنواخت با گرادیان فشار صفر در صفحه زمین اعمال شده است.

1, 2, 3: Velocity Inlet 5: Symmetry Plane
4: Pressure Outlet 6: Symmetry (Ground Plane)

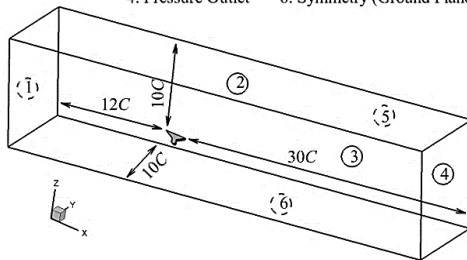


Fig. 2 Computational domain and boundary condition in ground effect

شکل ۲ دامنه محاسباتی و شرایط مرزی در اثر سطح

^۹ Reciprocity

بررسی شده است. شماتیکی از هندسه بال و سیستم مختصات استفاده شده در این مطالعه در "شکل ۱" نشان داده شده است. لبه حمله بال تیز است و زاویه پچ^۱ در لبه حمله 45° است. سایر مشخصات بال در جدول ۱ ارائه شده است. فاصله از سطح زمین، h ، به عنوان فاصله بین پایین‌ترین نقطه بال تا زمین تعریف شده است. این فاصله با وتر ریشه بی بعد شده است. نسبت‌های h/C مورد بررسی در این مطالعه برابر ۰.۵، ۰.۱، ۰.۳، ۰.۵ و ۰.۰۵ است. زوایای h/C متوسط بررسی ۷۰m/s انجام گرفته است. عدد رینولدز براساس وتر آبودینامیکی جریان آزاد ۷۰ از جریان آزاد تقریباً 10×10^6 است. جریان اطراف بال فرض می‌شود که سه بعدی، آشفته، دائم و تراکم ناپذیر باشد. جریان آشفته‌ها، با معادلات ناوبر-استوکس متوسط رینولدز^۲ توصیف می‌شود که معادلات آن در روابط (۱) تا (۳) ارائه شده است.

$$\frac{\partial u_i}{\partial x_i} = 0 \quad (1)$$

$$\frac{\partial}{\partial x_j}(u_i u_j) = -\frac{1}{\rho} \left(\frac{\partial p}{\partial x_i} + \frac{\partial}{\partial x_i} \left[\mu \left(\frac{\partial u_i}{\partial x_j} + \frac{\partial u_j}{\partial x_i} - \frac{2}{3} \delta_{ij} \frac{\partial u_i}{\partial x_i} \right) \right] \right) + \frac{\partial}{\partial x_i} (-\bar{u}_i \bar{u}_j) \quad (2)$$

$$-\rho \bar{u}_i \bar{u}_j = \mu_t \left(\frac{\partial u_i}{\partial x_j} + \frac{\partial u_j}{\partial x_i} \right) - \frac{2}{3} \delta_{ij} (\rho K + \mu_t \frac{\partial u_k}{\partial x_k}) \quad (3)$$

با توجه به مواردی از قبیل ناچیز بودن اثرات عدد رینولدز بر گردابه اولیه در بالهای با جریان گردابه غالب و باله حمله تیز [13]، تعداد قابل توجه شبکه موردنیاز در راستای وتر بال جهت مدل‌سازی ناحیه گزار [14]، ^۳ یا کوچک موردنیاز جهت شبیه‌سازی گزار، عدم وجود داده‌های تجزیی مدل موردنیازی برای مقایسه، نسبتاً بزرگ بودن عدد رینولدز جریان آزاد و درنتیجه احتمالاً محدود بودن جریان آرام به ناحیه کوچک نزدیک رأس بال، گزار جریان از آرام به آشفته شبیه‌سازی نشده و جریان کاملاً آشفته فرض شده است. جریان آشفته با مدل^۳ SST-K- ω مدل‌سازی شده است که معادلات اصلی آن در روابط (۴) و (۵) ارائه و جزئیات کامل در مرجع [15] موجود است.

$$\rho \frac{\partial}{\partial x_i} (K u_i) = \frac{\partial}{\partial x_j} \left[\left(\mu + \frac{\mu_t}{\sigma_K} \right) \frac{\partial K}{\partial x_j} \right] + G_K - Y_K \quad (4)$$

$$\rho \frac{\partial}{\partial x_i} (\omega u_i) = \frac{\partial}{\partial x_j} \left[\left(\mu + \frac{\mu_t}{\sigma_\omega} \right) \frac{\partial \omega}{\partial x_j} \right] + G_\omega - Y_\omega + D_\omega \quad (5)$$

^۱ انرژی جنبشی آشفتگی و ^۲ نرخ اضمحلال ویژه انرژی آشفتگی است. در رابطه (۵)، G_ω تولید انرژی جنبشی آشفته، Y_ω اضمحلال ناشی از آشفتگی، σ_ω عدد پرانتل آشفتگی و D_ω دیفیوژن عرضی مربوط به ω است. این مدل، یک مدل ترکیبی است که در ناحیه کاملاً آشفته از مدل K- ω ویلکاکس^۴ به مدل K- ϵ سوئیچ می‌کند تا از حساسیت به اغتشاشات جریان کاسته شود. این مدل با کمترین هزینه محاسباتی برای جریان‌های با گرادیان فشار بزرگ و جدایش لایه مرزی مناسب‌تر است. همچنین این مدل در پیش‌بینی قدرت و موقعیت گردابه‌ها مناسب‌تر است [16].

معادلات حاکم بر جریان با استفاده از روش حجم محدود در نرم‌افزار فلوئنت^۵ حل شده‌اند. روش گسسته‌سازی مرتبه دوم بالادست^۶ برای معادلات مومنتوم، انرژی جنبشی آشفتگی و نرخ اضمحلال ویژه آشفتگی بکار بوده شده است. الگوریتم سیمپل^۷ جهت کوپل کردن سرعت و فشار استفاده شده

^۱ Bevel^۲ Reynolds-averaged Navier-Stokes (RANS)^۳ Shear stress transport^۴ Dissipation^۵ Wilcox^۶ Fluent^۷ Upwind^۸ Semi implicit method for pressure linked equations (SIMPLE)

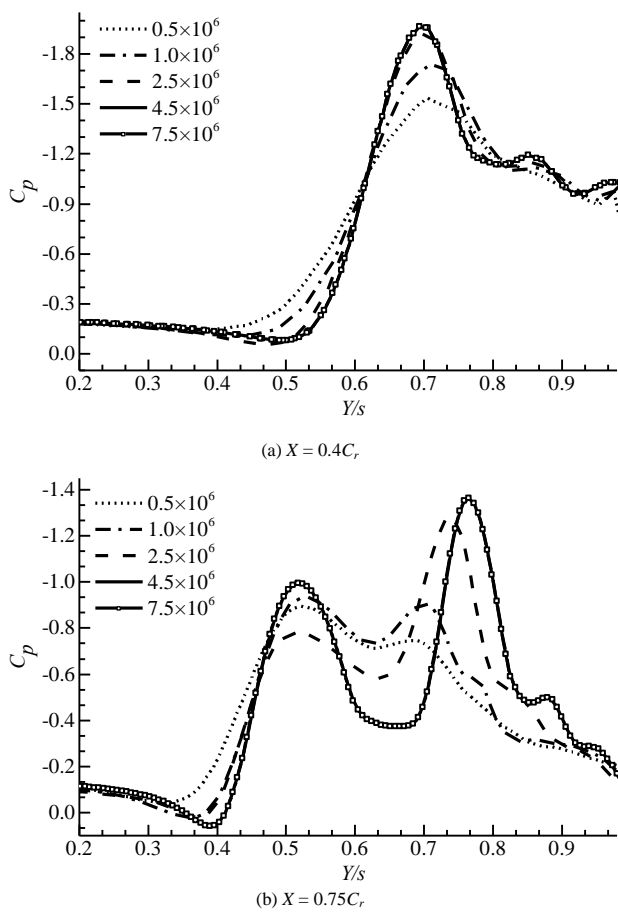


Fig. 4 Variation of C_p on the upper surface of the wing with grid number at angle of attack 8°

شکل 4 تغییرات C_p روی سطح بالایی بال با تعداد المان‌های شبکه در زاویه حمله 8°

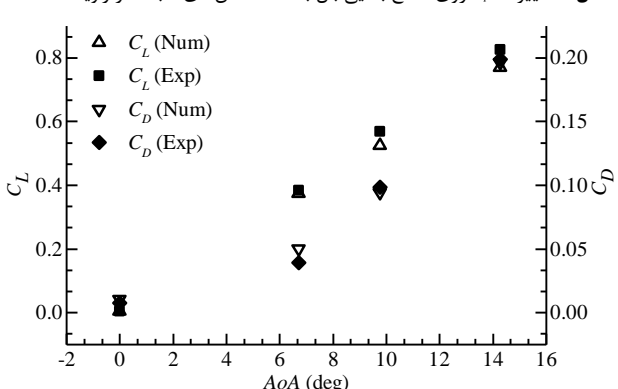


Fig. 5 Comparison of computed C_L and C_D with experimental data

شکل 5 مقایسه C_L و C_D محاسبه شده و داده‌های تجربی

جریان آزاد را در زاویه حمله 8° نشان می‌دهد. ممان پیچ، حول مرکز جرم بال گرفته شده است. تغییرات آیرودینامیکی ایجاد شده به وسیله اثر سطح، به تغییرات میدان جریان سطوح زیرین و بالایی بال مربوط می‌شود. ضرایب برآ، پسا و ممان پیچ با کاهش ارتفاع از سطح، افزایش می‌یابد. بیشترین تغییرات مربوط به محدوده ارتفاع $h/C \leq 0.3$ است. در زاویه حمله 8° با ارتفاع بی بعد 0.05، درصد تغییرات نسبی ضرایب برآ، پسا کل و ممان پیچ به ترتیب برابر 30.5 و 33.9، 54.5 درصد است. اندازه نیروی سطح بالا، بزرگ‌تر از سطح زیرین است. بنابراین سطح بالایی، سهم بیشتری در نیروی کل دارد. این

شبکه با نرم‌افزار انسیس مشینگ¹ تولید شده است. در "شکل 3"، برشی از شبکه محاسباتی اطراف مدل نشان داده شده است. دامنه محاسباتی ترکیبی از المان‌های هرمی و منشوری است. با توجه به نزدیک بودن مدل به سطح زمین، برای هر ترکیبی از ارتفاع و زاویه حمله، شبکه‌ای جدآگاه تولید شده است. تعداد 25 لایه المان منشوری در لایه مرزی با نرخ رشد 1.22 قرار گرفته است. مدل $K-\omega$ SST در محدوده $0 \leq u^+ \leq 5$ بقرار است. اولین لایه تمامی المان‌ها، کمتر از 2 است؛ بنابراین مدل $K-\omega$ SST در این شبکه قابل استفاده است. استقلال حل از تعداد المان‌های شبکه، از طریق بررسی تغییرات ضریب فشار روی سطح بالای انجام گرفته است. "شکل 4"، توزیع فشار دو مقطع از بال در جریان آزاد با زاویه حمله 8° را نشان می‌دهد. در شبکه با تعداد 4.5×10^6 حساسیت ضریب فشار به تعداد المان، تقریباً از بین می‌رود. سایر شبیه‌سازی‌ها با ابعاد شبکه 4.5×10^6 تولید شده است. با توجه به تغییر فاصله بال از سطح، تعداد المان‌های هر شبکه مقداری متفاوت است.

3-نتایج محاسباتی و آنالیز

3-۱-اعتبارسنجی حلگر

داده‌های تجربی مربوط به اثر سطح در مدل مورد مطالعه در این پژوهش در دسترس نیست. بنابراین جهت اعتبارسنجی حلگر، از نتایج آزمایشگاهی لی و همکاران [20] استفاده شده است. مدل موردنظر، یک بال دلتا با زاویه پس‌گرانی 65° است. نسبت فاصله مرکز آیرودینامیکی بال از سطح زمین به وتر ریشه بال برابر 0.3 است. عدد رینولدز بر اساس وتر آیرودینامیکی متوسط برابر 4×10^5 است. "شکل 5" مقایسه بین ضرایب پسا و برآی کار حاضر با نتایج آزمایشگاهی را نشان می‌دهد. انتطبق خوبی بین نتایج تجربی و کار حاضر وجود دارد بهطوری‌که حداقل خطای 8 درصد است.

3-۲-ضرایب برآ و پسا در اثر سطح

در ارتفاع h از سطح زمین، نمو² تغییر برآی کل، برآی سطح زیرین و سطح بالایی نسبت به میدان جریان آزاد به شکل روابط (6) تا (8) تعریف شده است.

$$\Delta(C_{L,\text{Total}}) = (C_{L,\text{Total}})^h - (C_{L,\text{Total}})^{\text{OGE}} \quad (6)$$

$$\Delta(C_{L,\text{Lower}}) = (C_{L,\text{Lower}})^h - (C_{L,\text{Lower}})^{\text{OGE}} \quad (7)$$

$$\Delta(C_{L,\text{Upper}}) = (C_{L,\text{Upper}})^h - (C_{L,\text{Upper}})^{\text{OGE}} \quad (8)$$

روابط مشابهی برای ضرایب پسا و ممان پیچ تعریف می‌شود. "شکل 6" تا 8 به ترتیب روند تغییرات برآ، پسا و ممان پیچ و نمو هر یک نسبت به

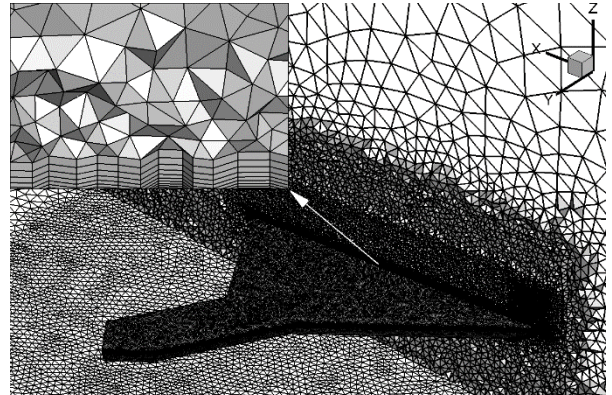


Fig. 3 Computational grid in the region near wing

شکل 3 شبکه محاسباتی در ناحیه نزدیک بال

¹ Ansys meshing

² Increment

بودن جریان، معیار کیو با رابطه (9) تعریف می‌شود.

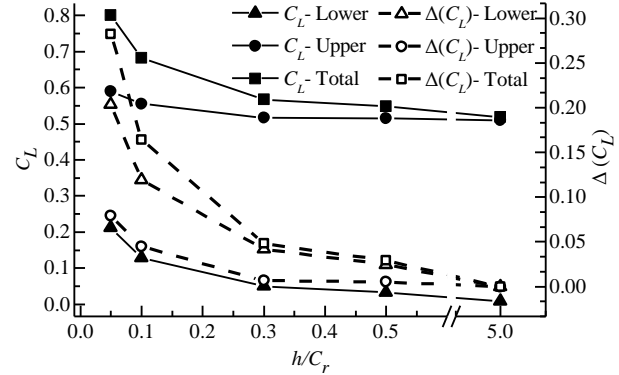
$$Q = (\Omega_{ij}\Omega_{ij} - S_{ij}S_{ij})/2 \quad (9)$$

که Ω_{ij} و S_{ij} به ترتیب تانسورهای چرخش^۲ و نرخ کرنش^۳ هستند؛ بنابراین مقادیر منبیت کیو نشان‌دهندهٔ ناحیه‌هایی از جریان است که تانسور چرخش بزرگ‌تر از تانسور کرنش است و در حالت کلی متناظر با بخش هسته گردابه‌ها است. در واقع کیو، پایا^۴ دوم تانسور گرادیان سرعت است [21].

در "شکل ۹" ساختار گردابه‌های بالای بال با استفاده از معیار کیو در جریان آزاد و ارتفاع بی بعد ۰.۰۵ برای تمام زوایای حمله رسم شده است. در زاویه حمله 0° ، گردابه‌های لبه حمله در جریان آزاد نسبتاً ضعیف هستند و با کاهش ارتفاع، ساختار گردابه‌ها قطورتر شده است. قطورتر شدن گردابه به معنی افزایش چرخش است؛ بنابراین گردابه‌ها قوی‌تر شده و مکش بیشتری روی سطح بالایی با ایجاد می‌کنند. در زاویه حمله 2° گردابه‌ها در جریان آزاد قوی‌تر شده و با کاهش ارتفاع رفتار مشابه با زاویه 0° برای گردابه‌ها مشاهده شده است. ساختار گردابه اولیه^۵ در زوایای 4° ، 6° و 8° با کم شدن ارتفاع، قوی‌تر می‌شود ولی گردابه محل شکستگی^۶ بال ضعیف‌تر می‌شوند. با ایجاد، قوی‌تر می‌شود ولی گردابه ثانویه^۷ به بالا دست گردیان جایجا می‌شود. در زوایای حمله 6° و 8° ، ساختار گردابه‌ای جدیدی در بخش بیرونی بال در ارتفاع بی بعد ۰.۰۵ تشکیل شده است. با توجه به این که رفتار گردابه‌ها در زاویه حمله 2° با 0° و زاویه حمله 8° با زوایای 4° و 6° مشابه است؛ بنابراین در ادامه بحث، میدان جریان آزاد و ارتفاع بی بعد ۰.۰۵ در صفحات عمود بر بال، فقط در زوایای 2° و 8° مقایسه شده‌اند.

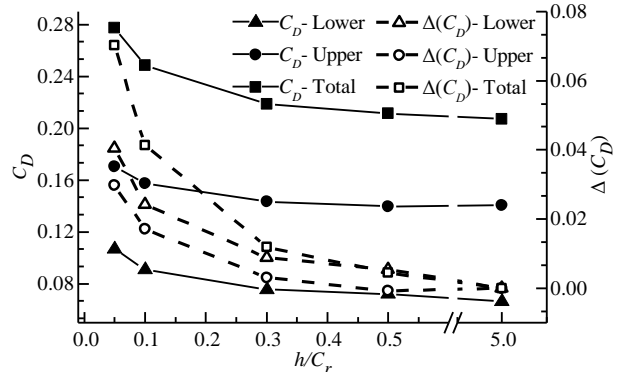
در "شکل ۱۰" کانتورهای ضربی فشار همراه با خطوط جریان^۸ برحسب بردارهای گرادیان فشار، در صفحه عمود بر بال در مقطع $X=0.6C_r$ رسم شده است. جهت بردار گرادیان یک کمیت اسکالار، جهت نرخ ماکریتم تغییرات آن کمیت را در یک نقطه معین نشان می‌دهد. با توجه به این که در هسته گردابه‌ها، گردایان فشار بزرگی وجود دارد؛ بنابراین واگرا شدن خطوط از یک نقطه، بیان گر مرکز گردابه است. نقاط بحرانی از دیدگاه توپولوژی جریان، نقاطی در جریان هستند که اندازه^۹ میدان‌های برداری از قبیل سرعت و گرادیان فشار در آن نقاط صفر است. توپولوژی میدان سرعت، به چارچوب مرجع^{۱۰} و استه است؛ اما میدان گرادیان فشار، مستقل از حرکت ناظر بدون شبک است. ساختار جریان براساس بردارهای گردایان فشار، از مجموعه‌ای نقاط گره ناپایدار^{۱۱} (واگرا شدن خطوط از یک نقطه بحرانی) در نزدیک مرکز گردابه‌ها تشکیل شده است. مرکز گردابه‌ها به‌وسیله نقاط زینی^{۱۲} (نقاط ظاهری خطوط جریان) از یکدیگر جدا شده‌اند [22].

در "شکل ۱۰" یکی از نقاط زینی و یکی از گره‌های ناپایدار نشان داده شده است. گره مشخص شده، مرکز گردابه اولیه را در زاویه حمله 2° نشان می‌دهد. در این مقطع، مرکز گردابه‌ها با کم شدن ارتفاع تقریباً ثابت مانده‌اند. در زاویه حمله 2° ، در Y/S تقریباً برابر با ۰.۵۲. خطوط به سمت یک نقطه



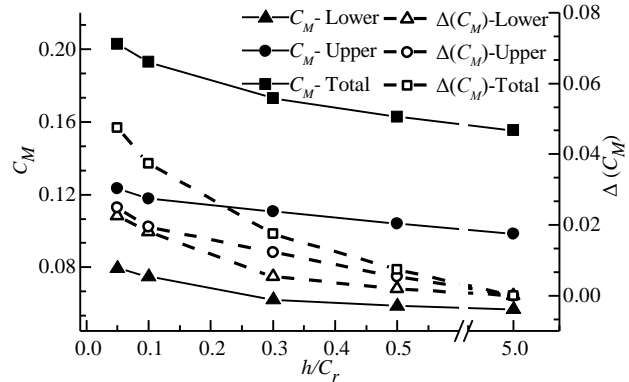
شکل ۶ ضربی برآ و نمو آن با ارتفاع برای $AoA = 8^\circ$

شکل ۶ ضربی برآ و نمو آن با ارتفاع برای $AoA = 8^\circ$



شکل ۷ ضربی پسا و نمو آن با ارتفاع برای $AoA = 8^\circ$

شکل ۷ ضربی پسا و نمو آن با ارتفاع برای $AoA = 8^\circ$



شکل ۸ ضربی ممان پیچ و نمو آن با ارتفاع برای $AoA = 8^\circ$

شکل ۸ ضربی ممان پیچ و نمو آن با ارتفاع برای $AoA = 8^\circ$

سطح با گردابه‌های لبه حمله غالب شده است. اما بیشترین تغییرات ضرایب آبرودینامیکی مربوط به سطح زیرین بال است. بنابراین اثر سطح، میدان جریان زیر را بیشتر تحت تأثیر قرار می‌دهد. تغییر در ضرایب آبرودینامیکی سطح زیرین، ناشی از افزایش قابل توجه فشار مسیر بین زیر بال و زمین است [12]. این افزایش فشار، منجر به تغییر رفتار گردابه‌های تشکیل شده در بالای بال می‌شود.

۳- ساختارهای چرخشی در اثر سطح

در این بخش رفتار گردابه‌های لبه حمله بررسی شده است. معیار کیو^{۱۳} جهت استخراج ساختارهای چرخشی استفاده شده است. با توجه به تراکم ناپذیر

² Rotation

³ Strain

⁴ Invariant

⁵ Primary vortex

⁶ Kink location vortex

⁷ Breakdown

⁸ Secondary vortex

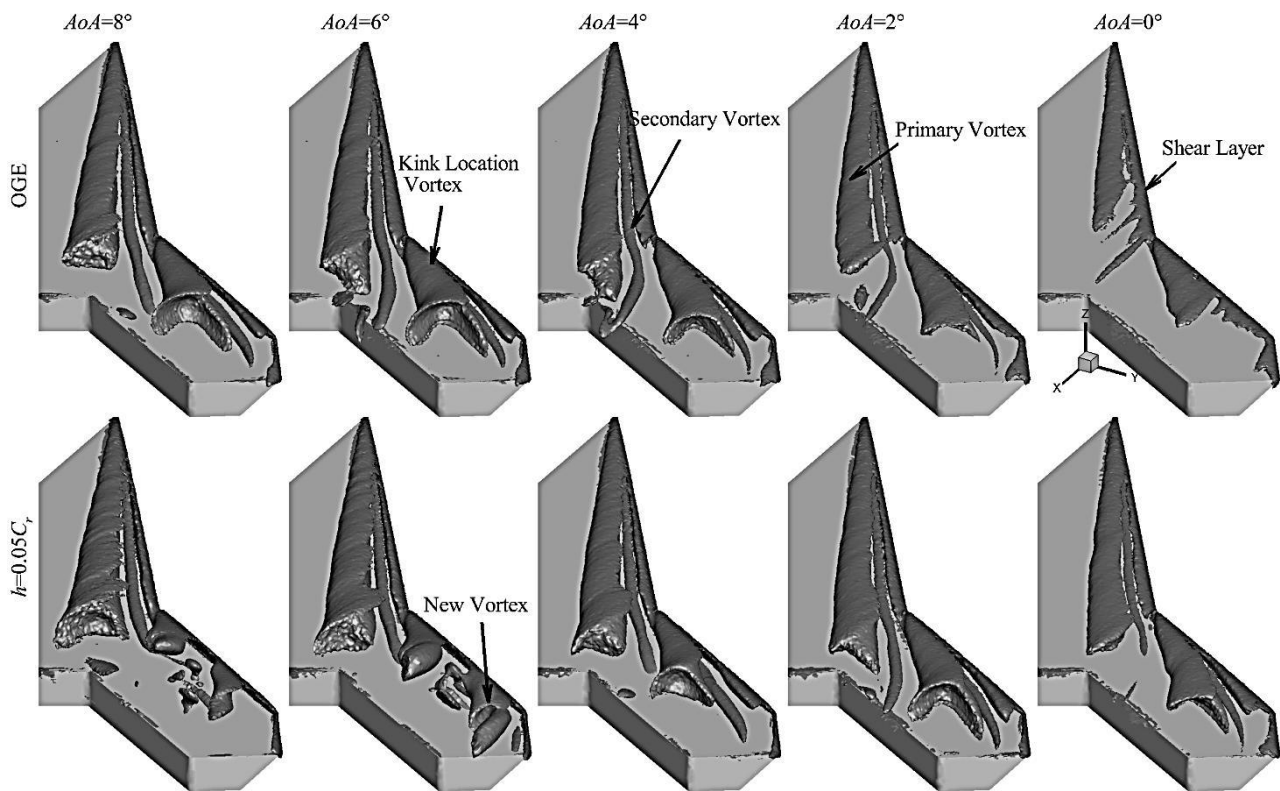
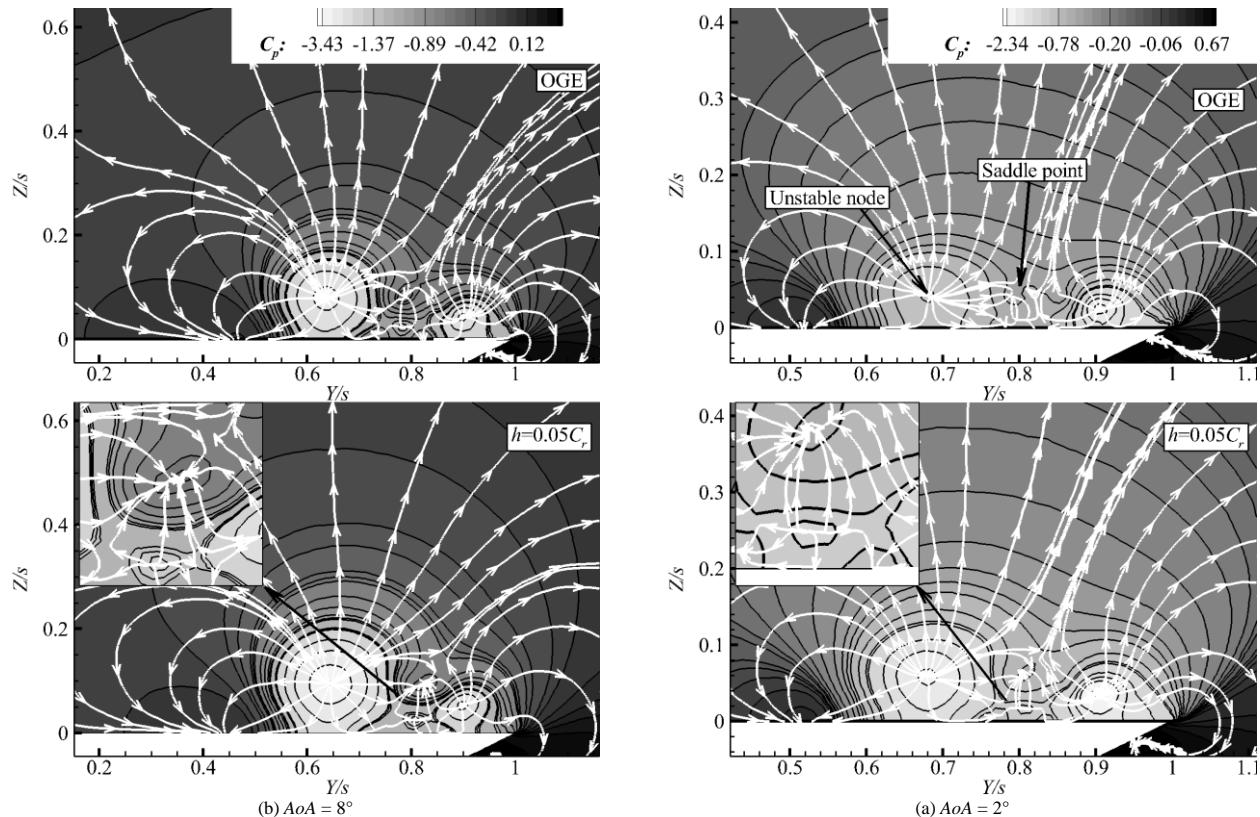
⁹ Streamtrace

¹⁰ Norm

¹¹ Frame reference

¹² Unstable Node

¹³ Saddle

Fig. 9 Comparison between isosurface of $Q = 200 U^2 / C_r^2$ in free stream and $h = 0.05C_r$ شکل ۹ مقایسه بین ایزو سطح $Q = 200 U^2 / C_r^2$ در جریان آزاد و $h = 0.05C_r$ Fig. 10 Pressure coefficient contours and streamtrace based on pressure gradient vectors in cross section $X=0.6C_r$ شکل ۱۰ کانتورهای ضربی فشار و خطوط جریان براساس بردارهای گردابیان فشار در مقطع $X=0.6C_r$

اولیه را نشان می‌دهد. سرعت زیاد در ناحیه گردابیها منجر به تشکیل

روی سطح بالای بال همگرا شده‌اند. این نقطه در واقع نقطه اتصال گرداب

قابل شود. براساس این روش، حرکت سیال از سه حرکت اصلی کرنش، برش و چرخش جسم صلب⁴ تشکیل شده است که هر یک از آنها متناظر با پخشی از تانسور گرادیان سرعت است. هدف اصلی این روش، جدا کردن گردابی ناشی شده از چرخش جسم صلب از گردابی ایجاد شده توسط برش است. نحوه محاسبه گردابی باقیمانده در صفحات عمود بر بال با ترمال در راستای X در روابط (10) تا (12) تعریف شده است [23].

$$\omega_{RES_x} = \begin{cases} (\text{sgn } \omega_X)[|\omega_X| - |S_D|] & |\omega_X| \geq |S_D| \\ 0 & |\omega_X| < |S_D| \end{cases} \quad (10)$$

در اینجا

$$(11)$$

$$\omega_X = (w_Y - v_Z)/2$$

ناحیه‌ای کم فشار می‌شود. این ناحیه کم فشار در کانتورهای رسم شده در "شکل 10" مشاهده می‌شود. در مقطع $X=0.06C_r$ ، افزایش مکش گردابه‌ها در ناحیه اثر سطح در هر دو زاویه حمله مشاهده می‌شود. ناحیه بزرگ‌نمایی شده، گردابه ثانویه را نشان می‌دهد. در این مقطع، افزایش مکش گردابه محل شکستگی در زاویه حمله 8° ، حاکی از قوی‌تر شدن این گردابه تا قبل از ضعیفتر شدن یا فروپاشی است.

در "شکل 11" کانتورهای گردابی باقیمانده¹ براساس روش تجزیه سه‌گانه و خطوط جریان براساس بردارهای گردابیان فشار در صفحات عمود بر بال نشان داده شده است. این روش براساس این حقیقت است که گردابی نمی‌تواند بین حرکت برش م Hispan² و حرکت چرخش³ واقعی گردابه تمایز

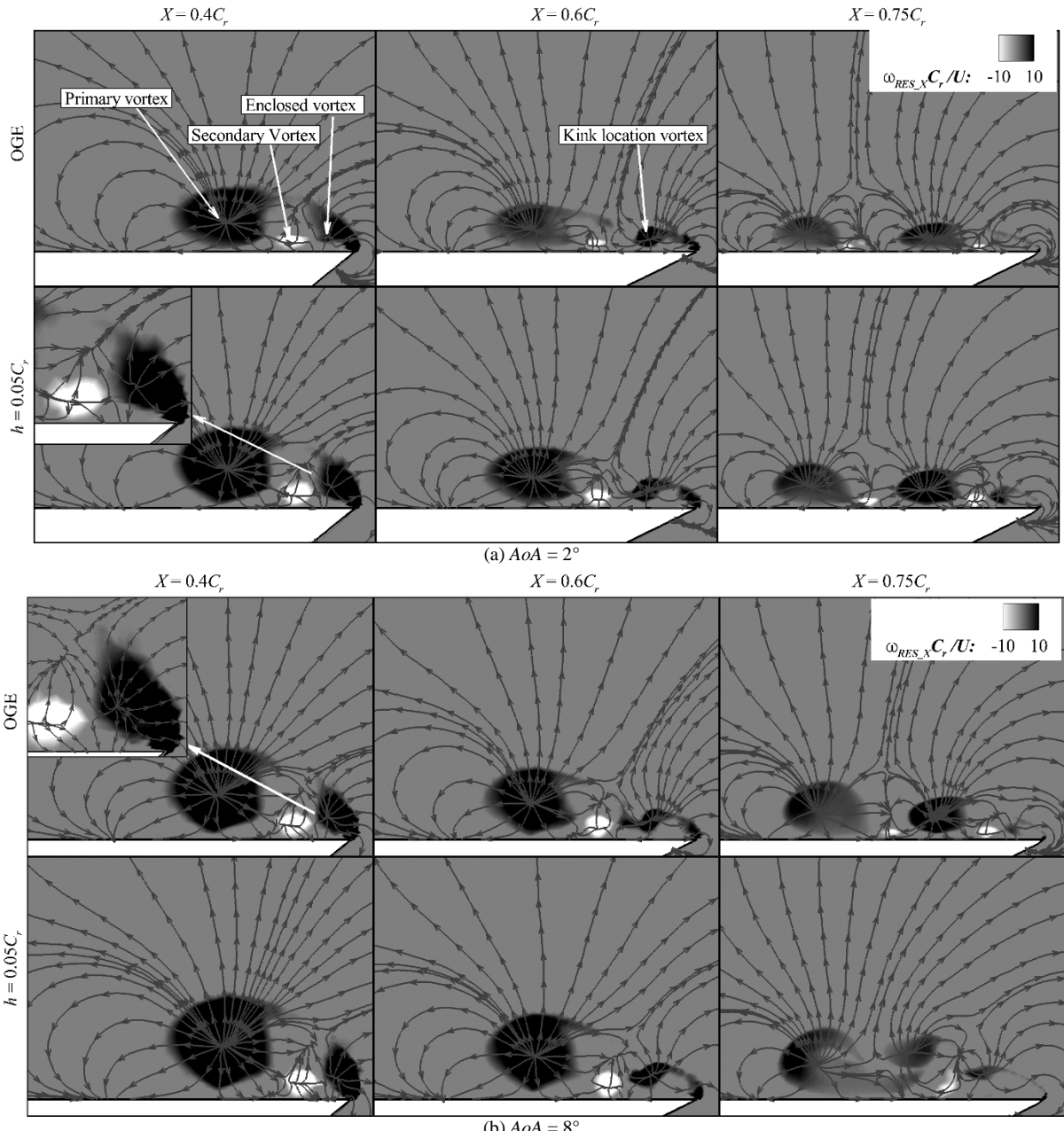


Fig. 11 Residual vorticity contours and streamtrace based on gradient pressure vectors in planes normal to the wing

شکل 11 کانتورهای گردابی باقیمانده و خطوط جریان براساس بردار گردابیان فشار در صفحات عمود بر بال

³ Swirl

⁴ Rigid-body rotation

¹ Residual vorticity

² Pure shear

مقطع، گردابه اولیه و گردابه محل شکستگی به یکدیگر نزدیک‌تر شده و بهنوعی با یکدیگر ترکیب می‌شوند که نتیجه آن تشکیل گردابه‌ای بزرگ‌تر است. هم‌چنین در این مقطع با کاهش ارتفاع، از بین رفت گردابی باقیمانده منفی مربوط به گردابه ثانویه مشاهده می‌شود؛ بنابراین کاهش ارتفاع منجر انتقال فروپاشی گردابه ثانویه به بالا است در زاویه حمله 80° می‌شود. گردابه‌ای با چرخش ساعت‌گرد در بین گردابه محل شکستگی بال و لبه حمله بال در زاویه حمله 20° تشکیل می‌شود. در این زاویه، گردابه ذکر شده در اثر سطح قوی‌تر می‌شود. اما در زاویه حمله 8° این ساختار در اثر سطح از بین رفته و جریان برگشتی در آن ناحیه تشکیل می‌شود. این مسئله در ایزو سطح "شکل 9" مشاهده می‌شود.

در "شکل 13" کانتورهای ضریب فشار روی سطح بالایی بال همراه با محور گردابه‌ها و روبان‌های جریان، در زوایای 20° و 8° رسم شده است. روبان‌های جریان از اتصال دو خط جریان سه‌بعدی برحسب بردار سرعت ساخته می‌شوند. محور گردابه‌ها با خط‌چین سفید رنگ نمایش داده شده‌اند. حداقل موضوعی مکش روی سطح بالایی، نشان‌دهنده تصویر مسیر هسته گردابه‌های بالی بال است. در زاویه حمله 20° با کاهش ارتفاع، مکش ایجاد شده به‌وسیله تمامی گردابه‌ها بیشتر می‌شود. این افزایش فشار منفی ناشی از قوی‌تر شدن گردابه‌ها در اثر سطح است. در زاویه حمله 8° مکش ایجاد شده توسط گردابه‌های محل شکستگی و اولیه در ناحیه اثر سطح به ترتیب کاهش و افزایش یافته‌اند. این کاهش مکش القا شده توسط گردابه محل شکستگی، به دلیل فاصله گرفتن این گردابه از سطح و ضعیفتر شدن ساختار منسجم این گردابه است. در اثر سطح، گردابه اولیه مقداری از سطح بال فاصله می‌گیرد، بنابراین مقدار مکش القا شده سطح باید کاهش یابد؛ اما به دلیل غالب بودن اثر افزایش گردابی باقیمانده و به بیان دیگر افزایش چرخش گردابه اولیه، مکش القا شده روی سطح بالایی زیادتر می‌شود.

"شکل 14"، خطوط جریان براساس بردارهای سرعت و کانتورهای سرعت محوری بی‌بعد در صفات عومد بر بال را نشان می‌دهد. در زاویه حمله 20° افزایش سرعت محوری برای تمامی گردابه‌ها در اثر سطح مشاهده می‌شود. خطوط جریان، بزرگ‌تر شدن ناحیه چرخشی را نشان می‌دهند. در زاویه حمله 8° ، در $X = 0.4C_r$ سرعت محوری در اثر سطح افزایش یافته و ناحیه چرخشی بزرگ‌تر می‌شود. در این زاویه با کاهش ارتفاع پرواز، نزدیک‌تر شدن گردابه محل شکستگی بال به گردابه اولیه در $X = 0.75C_r$ مشاهده می‌شود. وجود سرعت محوری منفی، حاکی از تشکیل حباب باز چرخشی روی بال در اثر سطح است. ناحیه بزرگ‌نمایی شده، خطوط جریان مربوط به حباب باز چرخشی را نشان می‌دهد. جهت واضح‌تر شدن شکل، کانتورهای سرعت محوری در ناحیه بزرگ‌نمایی رسم نشده است. کانتورهای سرعت محوری در زاویه حمله 8° ، گردابه جدید تشکیل شده در اثر سطح را در $X = 0.75C_r$ نشان می‌دهند. این گردابه در بخش بیرونی بال قرار دارد. این ساختار در ایزو سطح "شکل 9" نشان داده شده است.

3-4- میدان جریان زیر بال

در جدول 2 مقادیر میانگین مؤلفه سرعت در راستای دهانه بال ارائه شده است. متوسط‌گیری در ناحیه محصور بین زیر بال و زمین در صفات عومد بر بال انجام گرفته است. در جریان آزاد، جریان هوا می‌تواند به طور آزادانه بدون قید زمین حرکت کند. در حالت اثر سطح، جریان هوا به دلیل محدودیت صفحه زمین در راستای دهانه بال رانده می‌شود. در زاویه حمله 20° و 8° پرواز در ناحیه اثر سطح منجر می‌شود که در زیر بال، مؤلفه سرعت در راستای

$$S_D = \left(\sqrt{(v_y - w_z)^2 + (w_y + v_z)^2} \right) / 2 \quad (12)$$

مقادیر مثبت گردابی باقیمانده، نشان‌دهنده چرخش خلاف جهت عقربه ساعت و مقادیر منفی نشان‌دهنده چرخش ساعت‌گرد است. گردابه اولیه و گردابه محل شکستگی بال دارای گردابی مثبت هستند، در حالی که گردابه ثانویه، گردابی منفی دارد. گردابه ثانویه در بین لبه حمله و گردابه اولیه قرار دارد. بال‌های دلتا با زاویه پس‌گرانی کمتر از 60° را بال دلتای غیرباریک گویند. از جمله مشخصه‌های این نوع بال‌ها تشکیل گردابه دوگانه¹ قابل تمايز در یک محدوده رینولدز و زاویه حمله است. این ساختار با افزایش عدد رینولدز در لایه برشی محصور می‌شود و از طریق کانتورهای گردابی قابل تشخیص نیست. در مقطع $X=0.4C_r$ "شکل 11"، این گردابه محصور شده در ناحیه بزرگ‌نمایی شده نشان داده شده است. مراجع [25,24] علاوه بر گردابه اولیه، وجود ساختار گردابه‌ای پایدار که در لایه برشی محصور شده است را تأیید کرده‌اند. به نظر می‌رسد که این ساختار محصور شده همان گردابه جفتی باشد که با افزایش عدد رینولدز، ساختار آن به تدریج کوچک‌تر و به سطح بال نزدیک‌تر شده است. با توجه به این که تصویر برداهای سرعت در صفحات دو بعدی در یک میدان جریان سه بعدی، به زاویه صفحه با عمود بر محور گردابه وابسته است؛ بنابراین صفحه‌ای عمود بر لبه حمله بال و عمود بر بال در X/C_r تقريباً 0.4 جهت نمایش این گردابه در "شکل 12" رسم شده است؛ زیرا این صفحه به عمود بر محور گردابه، نزدیک‌تر است. خطوط جریان رسم شده در این شکل، ناحیه سیال چرخشی مربوط به گردابه محصور شده را نشان می‌دهد. این گردابه، گردابی هم علامت با گردابه اولیه دارد. برطبق "شکل 11" با کاهش ارتفاع، در تمامی مقاطع در زاویه حمله 20° ، گردابی باقیمانده تمامی گردابه‌ها زیادتر شده است. گردابه‌ها تقریباً ثابت بوده و مقدار کمی از سطح فاصله گرفته و به طرف بیرون در راستای دهانه بال جابجا شده‌اند. افزایش گردابی باقیمانده، به معنی قوی‌تر شدن گردابه، افزایش چرخش و افزایش مکش القا شده روی سطح بالایی بال و به دنبال آن افزایش چرخش و افزایش مکش القا شده روی سطح بالایی بال به دنبال آن افزایش گردابه اولیه در مقطع 0.4 و 0.6 می‌شود. در مقطع 0.75، گردابه محل شکستگی به شدت ضعیفتر شده و مقدار زیادی از سطح بال فاصله می‌گیرد. کاهش گردابی باقیمانده به معنی ضعیفتر شدن ساختار گردابه است. در این

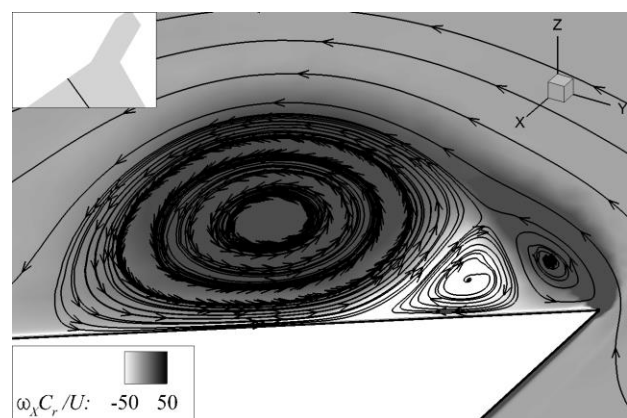


Fig. 12 Vorticity contours and streamtrace based on velocity vectors in the plane normal to leading edge

شکل 12 کانتورهای گردابی و خطوط جریان براساس بردار سرعت در صفحه عومد بر لبه حمله

¹ Dual vortex

² Project

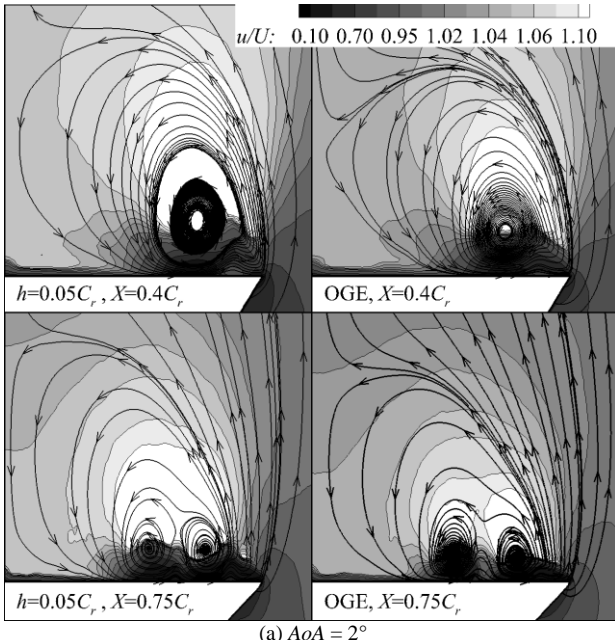
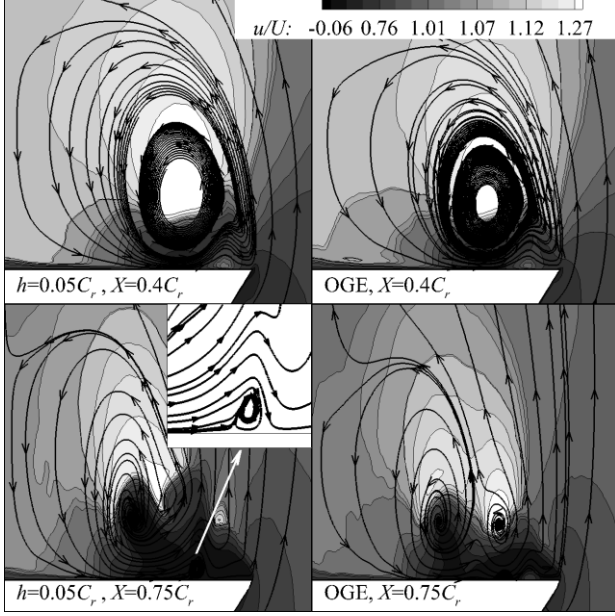
(a) $AoA = 2^\circ$ (b) $AoA = 8^\circ$

Fig. 14 Axial velocity contours and streamtrace based on velocity vectors in planes normal to the wing

شکل 14 کانتورهای سرعت محوری و خطوط جریان براساس بردارهای سرعت در صفحات عمود بر بال

جدول 2 میانگین مؤلفه سرعت بی بعد در راستای دهانه \bar{v}/U در زیر بال

Table 2 An average of spanwise dimensionless velocity component \bar{v}/U under the wing

$h = 0.05C_r$	OGE	مقطع	
0.088	0.032	$X = 0.4C_r$	2° زاویه حمله
0.065	0.026	$X = 0.6C_r$	
0.083	0.056	$X = 0.75C_r$	
0.129	0.057	$X = 0.4C_r$	8° زاویه حمله
0.145	0.046	$X = 0.6C_r$	
0.169	0.060	$X = 0.75C_r$	

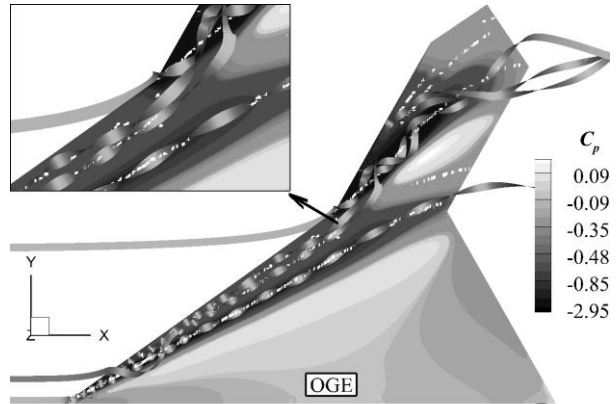
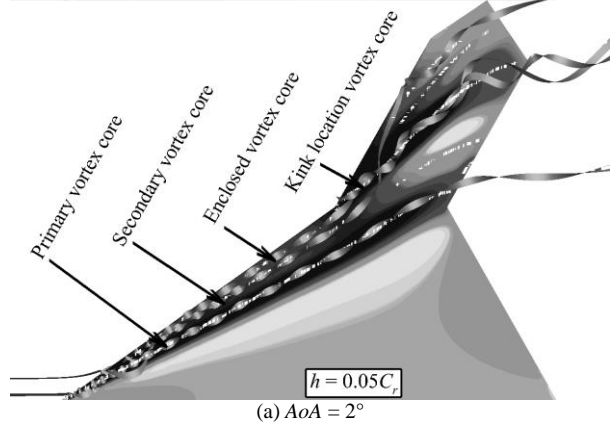
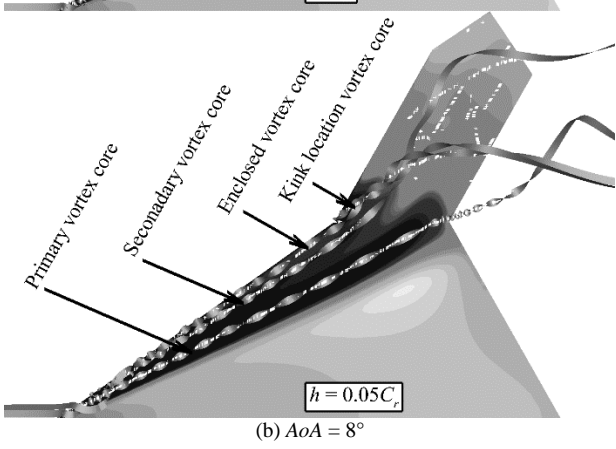
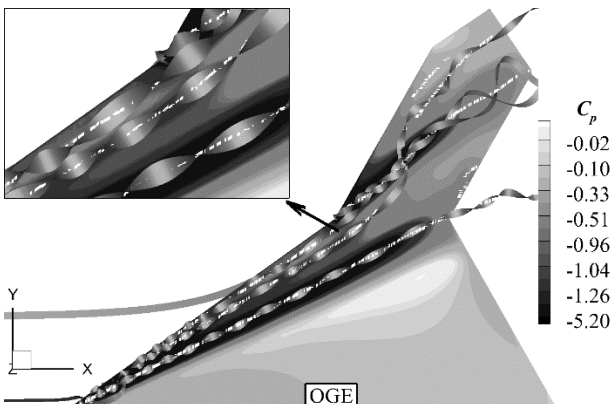
(a) $AoA = 2^\circ$ (b) $AoA = 8^\circ$ 

Fig. 13 کانتورهای ضربی فشار روی سطح بالایی همراه با محور گردابهای و

روبانهای جریان برای جریان آزاد و $h = 0.05C_r$

w_Y	مشتق مؤلفه سرعت در راستای Z نسبت به Y (s^{-1})
X	مختصات در راستای وتر
x_i	مختصات کارترزین
Y	مختصات در راستای دهانه
y^+	فاصله بین بعد اولین المان تا دیواره
Z	مختصات در راستای عمود بر بال
علایم یونانی	
δ_{ij}	دلتای کرانکر
Δ	نحو نیرو در اثر سطح نسبت به جریان آزاد
μ	لزجت دینامیکی ($kgm^{-1}s^{-1}$)
μ_t	لزجت آشفته ($kgs^{-1}m^{-1}$)
ρ	چگالی (kgm^{-3})
ω_{RES_X}	گردابی باقیمانده محوری (s^{-1})
Ω_{ij}	تانسور چرخش (s^{-2})

6- مراجع

- [1] E. Cui, X. Zhang, *Ground Effect Aerodynamics*, R. Blockey, W. Shyy (Eds.), *Encyclopedia of Aerospace Engineering*, pp. 245-256, New York: John Wiley & Sons, 2010.
- [2] K. V. Rozdestvensky, Wing-in-ground effect vehicles, *Progress in Aerospace Sciences*, Vol. 42, No. 3, pp. 211-283, 2006.
- [3] E. A. H. Abedini, A, Investigating the ground effect on aerodynamic characteristics of airfoil in oscillatory flow, *Journal of Solid and Fluid Mechanics*, Vol. 5, No. 3, pp. 182-196, 2015. (in Persian)
- [4] S. Jamei, A. Maimun, S. Mansor, N. Azwadi, A. Priyanto, Design Parametric Study of a Compound Wing-in-Ground Effect. II: Aerodynamics Coefficients, *Journal of Aerospace Engineering*, Vol. 29, No. 1, 2016.
- [5] M. R. Ahmed, Flow over thick airfoils in ground effect-an investigation on the influence of camber, *Proceedings of the 24th Congress of International Council of the Aeronautical Sciences*, Yokohama, Japan, 29 Aug - 3 Sept, 2004.
- [6] K. H. Jung, H. H. Chun, H. J. Kim, Experimental investigation of wing-in-ground effect with a NACA6409 section, *Journal of Marine Science and Technology*, Vol. 13, No. 4, pp. 317-327, 2008.
- [7] Y. Qin, Q. Qu, P. Liu, Y. Tian, Z. Lu, DDES study of the aerodynamic forces and flow physics of a delta wing in static ground effect, *Aerospace Science and Technology*, Vol. 43, pp. 423-436, 2015.
- [8] J. Er-El, D. Weihs, Ground effect on slender wings at moderate and high angles of attack, *Journal of Aircraft*, Vol. 23, No. 5, pp. 357-358, 1986.
- [9] M. Musaj, S. Prince, Numerical and experimental investigation of the aerodynamics of an unconventional w-leading edge reversed delta wing in ground effect, *26th Congress of International Council of the Aeronautical Sciences*, Alaska, USA, Sept 14-19, 2008.
- [10] N. A. Ahmed, J. Goonaratne, Lift Augmentation of a Low-Aspect-Ratio Thick Wing in Ground Effect, *Journal of Aircraft*, Vol. 39, No. 2, pp. 381-384, 2002.
- [11] B. Jones, M. Franke, E. Stephen, Aerodynamic Ground Effects of a Tailless Chevron-Shaped UCAV Model, *24th AIAA Applied Aerodynamics Conference*, San Francisco, California, USA, June 5-8, 2006.
- [12] M. J. Bazrgar, M. Dehghan Manshadi, The numerical investigation of the aerodynamics of a lambda wing in static ground effect, *Tabriz University Mechanics Journal*, In Press. (in Persian)
- [13] A. Furman, C. Breitsamter, Turbulent and unsteady flow characteristics of delta wing vortex systems, *Aerospace Science and Technology*, Vol. 24, No. 1, pp. 32-44, 2013.
- [14] G. L. Halila, E. D. Bigarella, A. P. Antunes, J. L. F. Azevedo, Inflow turbulence effects on transition prediction using a correlation-based transition model, *54th AIAA Aerospace Sciences Meeting*, San Diego, California, USA, Jan 4-8, 2016.

دهانه بال به علت افزایش گردابی فشار مطلوب در راستای دهانه بزرگ‌تر شود. بهبود گردابی فشار مطلوب ناشی از افزایش فشار زیر بال است؛ بنابراین جریان بیشتری از زیر مدل به بالای بال وارد می‌شود.

4- نتیجه‌گیری

در این مطالعه عددی، ساختارهای چرخشی بالای یک بال کرنت کایت با لبه حمله تیز در سرعت جریان آزاد برابر با $70 m/s$ ، در ارتفاعات و زوایای حمله مختلف بررسی شده است. نتایج به دست آمده عبارت‌اند از:

(الف) بیشترین نمو نیروی در اثر سطح مربوط به سطح زیرین بال است.

(ب) پرواز در ناحیه اثر سطح منجر می‌شود که در زیر بال، مؤلفه سرعت در راستای دهانه بال بزرگ‌تر می‌شود.

(پ) تشکیل گردابه محصور شده در لایه برنشی (ت) با کاهش ارتفاع پرواز، گردابه اولیه در تمام زوایای حمله قوی‌تر می‌شود. قوی‌تر شدن گردابه اولیه با افزایش گردابی باقیمانده محوری، سرعت محوری و مکش القا شده روی سطح بالایی بال همراه است.

(ث) هسته گردابه اولیه در اثر سطح تقریباً ثابت است و فقط مقدار اندازی عمود بر بال به طرف بالا و در راستای دهانه به طرف بیرون جابجا شده است.

(ج) گردابه محل شکستگی بال و گردابه ثانویه، در زوایای حمله 0° و 2° رفتاری مشابه با گردابه اولیه در اثر سطح داشته‌اند.

(چ) اثر سطح، منجر به ضعیفتر شدن گردابه محل شکستگی بال در زوایای حمله 6° و 8° می‌شود و این گردابه از سطح بال فاصله می‌گیرد. همچنین فروپاشی گردابه ثانویه به رأس بال نزدیک‌تر و تا قبل از فروپاشی قوی‌تر شده است.

(ح) در اثر سطح، حباب بازچرخشی روی سطح بالایی بال در زاویه حمله 8° تشکیل می‌شود.

5- فهرست عالیم

زاویه حمله (degree)	AoA
وتر متوسط آیرودینامیکی	C
ضریب پسا	C_D
ضریب برآ	C_L
وتر ریشه (mm)	C_r
ضریب فشار	C_p
ارتفاع بال از سطح زمین (mm)	h
انرژی جنبشی آشفته (m^2s^{-2})	K
پرواز خارج از اثر سطح	OGE
فشار استاتیک (Nm^{-2})	P
پایا دوم تانسور گردابیان سرعت	Q
نصف دهانه محلی (mm)	S
گردابی برنش (s^{-1})	S_D
تانسور نرخ کرنش (s^{-2})	S_{ij}
سرعت جریان آزاد (ms^{-1})	U
سرعت محوری یا مؤلفه سرعت در راستای X (ms^{-1})	u
مؤلفه‌های متوسط زمانی سرعت (ms^{-1})	u_i
مؤلفه‌های نوسانی سرعت (ms^{-1})	\dot{u}_i
مشتق مؤلفه سرعت در راستای Y نسبت به Z (ms^{-1})	v_z
متوسط مؤلفه سرعت در راستای محور Y (ms^{-1})	\bar{v}

- [20] P. H. Lee, C. E. Lan, V. U. Muirhead, An experimental investigation of dynamic ground effect, *NASA Contractor Report 4105*, pp. 1-86, 1987.
- [21] J. C. R. Hunt, Eddies Stream, and Convergence Zones in Turbulent Flows, *Technical Report CTR-S88*, Center for Turbulence Research, pp. 193-208, 1988.
- [22] B. Cantwel, G. Lewis, J. Chen, Topology of three-dimensional, variable density flows, *Tenth Australasian Fluid Mechanics Conference*, University of Melbourne, Australia, Dec. 11-15, 1989.
- [23] V. Kolář, J. Šíštek, F. Cirak, P. Moses, Average Corotation of Line Segments Near a Point and Vortex Identification, *AIAA Journal*, Vol. 51, No. 11, pp. 2678-2694, 2013.
- [24] A. Honkan, J. Andreopoulos, Instantaneous Three-Dimensional Vorticity Measurements in Vortical Flow over a Delta Wing, *AIAA Journal*, Vol. 35, No. 10, pp. 1612-1620, 1997.
- [25] B. Yaniktepe, D. Rockwell, Flow Structure on a Delta Wing of Low Sweep Angle, *AIAA Journal*, Vol. 42, No. 3, pp. 513-523, 2004.
- [15] F. R. Menter, Zonal Two Equation k-w Turbulence Models For Aerodynamic Flows, in *23rd Fluid Dynamics, Plasmadynamics, and Lasers Conference*, Orlando, Florida, USA, July 6-9, 1993.
- [16] M. Allan, *A CFD investigation of wind tunnel interference on delta wing aerodynamics*, PhD Thesis, University of Glasgow, 2002.
- [17] T. Barber, J. Keogh, J. Reizes, The effect of reference frame selection on modelled turbulence for ground effect aerodynamics simulations, *Tenth international symposium on turbulence and shear flow phenomena*, The University of Melbourne, Australia, June 30 - July 3, 2015.
- [18] M. D. Manshadi, F. Pourfattah, Numerical study about role of ground effect on flow transition from laminar to turbulent regime at low reynolds number, *Modares Mechanical Engineering*, Vol. 14, No. 9, pp. 203-210, 2014. (in Persian)
- [19] S. Schmid, T. Lutz, E. Krämer, Impact of Modelling Approaches on the Prediction of Ground Effect Aerodynamics, *Engineering Applications of Computational Fluid Mechanics*, Vol. 3, No. 3, pp. 419-429, 2009.